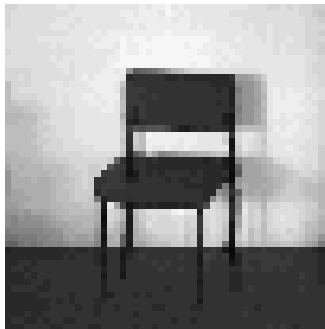


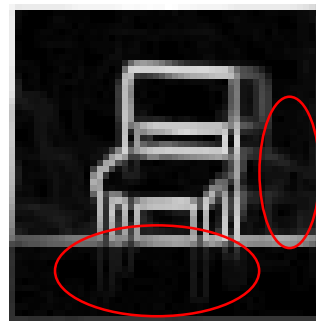
IX. Détection de contours

IX.1 Généralités

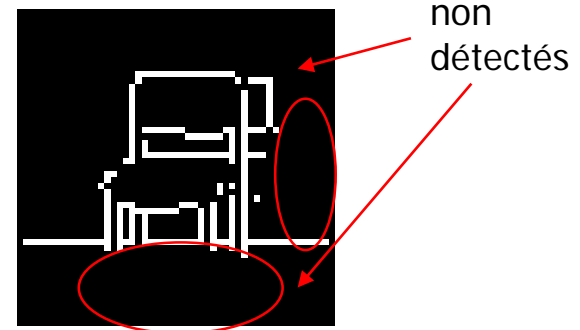
- Traitement pour accéder à des primitives de plus haut niveau
 - ❖ Pixels → Points de contours → ligne, bord → objet
- Nombreuses méthodes
 - ❖ Méthodes dérivatives, morphologiques, par EDP,...
- Plusieurs étapes pour la détection
 - ❖ Recherche des zones de fort contraste
 - ❖ Décision par seuillage : points « candidats au contours »
 - ❖ Poursuite des contours (chaînage) : lignes de contours



Image



Zones de fort contraste



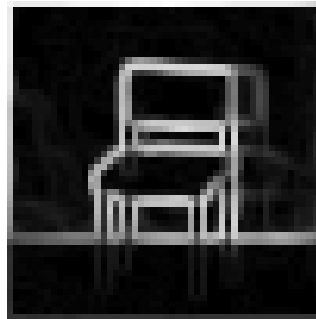
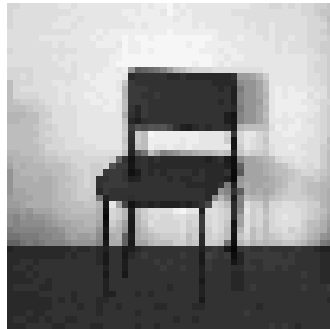
Lignes de contour

IX. Détection de contours

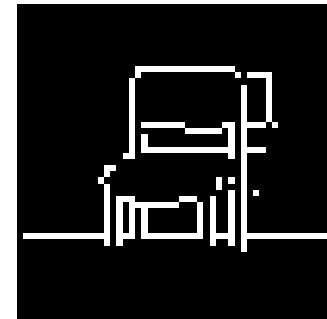
IX.1 Généralités

- ❑ Des zones de fort contraste aux lignes de contour
 - ❖ Enchaînement de traitements

Image simple



Zones de fort contraste



Lignes de contour

IX. Détection de contours

IX.1 Généralités

Image complexe

- Des zones de fort contraste aux lignes de contour
 - ❖ Enchaînement de traitements



points de contour



lignes de contour

Zones de fort contraste




IX. Détection de contours

IX.1 Généralités

□ Méthodes dérivatives

❖ Détection des Zones de Contraste 1D

- Maximum du gradient (dérivée première)
- Passage à zéro de la dérivée seconde
- Équivalent au passage à zéro du Laplacien

1D  2D

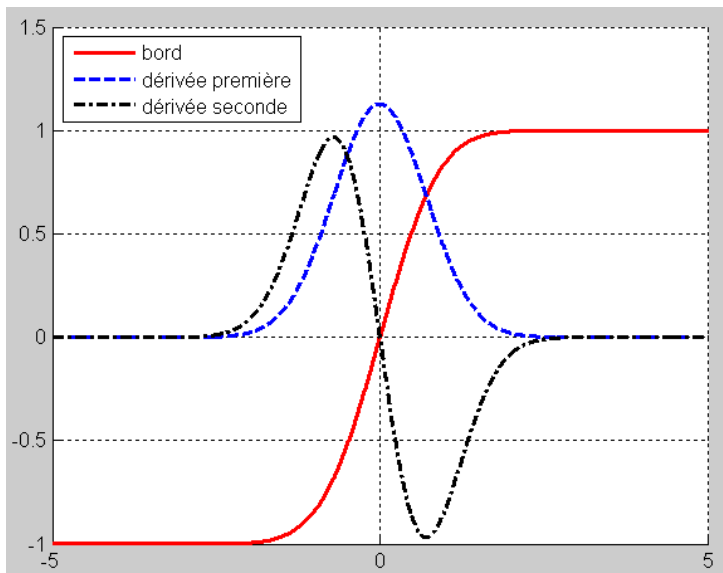


Illustration 1D , $f(x)=\text{bord}$; $f'(x)$; $f''(x)$

□ Détection des Zones de Contraste 2D

- ❖ Norme du Gradient $G(x,y)$
 - Orientation du Gradient $\theta(x,y)$
 - Max du la norme G dans la direction θ
- ❖ Passage à zéro de la dérivée seconde dans la direction θ
- ❖ Passage à zéro du Laplacien

□ Calcul des dérivées

- ❖ Filtrage directe : Différences finies (Masque de convolution)
- ❖ Filtrage récursif : Approche par filtrage optimal (cf. chap. X)

IX. Détection de contours

IX.1 Généralités

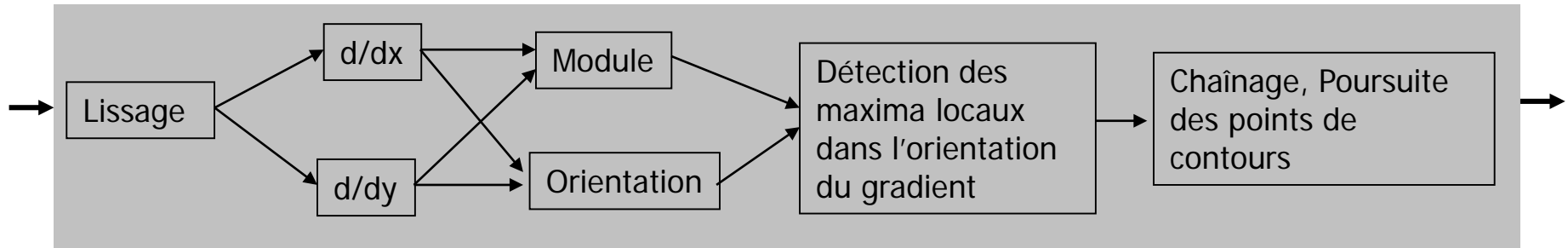
❑ Méthodes dérivatives

- ❖ Font appel à un calcul de différence entre niveaux de gris sur des pixels voisins
- ❖ Donc :
 - Sensibles aux bruit
- ❖ Prétraitement des images
 - Réduction de bruit : lissage
 - Perte de précision dans la localisation des zones de contours
 - Compromis entre les 2 objectifs
 - ✓ Réduire le bruit
 - ✓ Garder une bonne localisation des contours
- ❖ Filtre de détection de contours
 - Combinaison entre
 - ✓ lissage pour réduire le bruit et gradients (différences) pour accéder au contraste

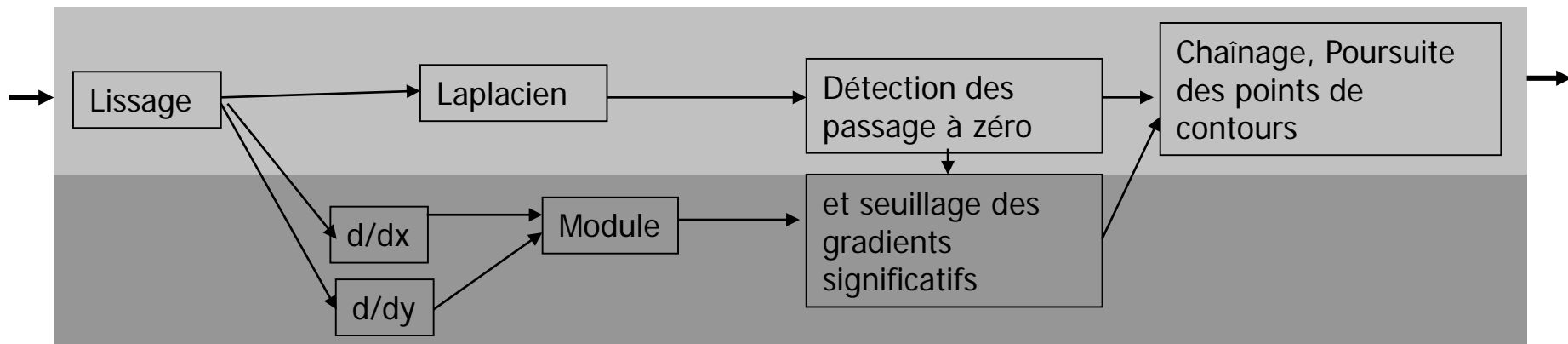
IX. Détection de contours

IX.2 Principe général

❑ Schéma fonctionnel d'une détection de contours



Gradient



Laplacien

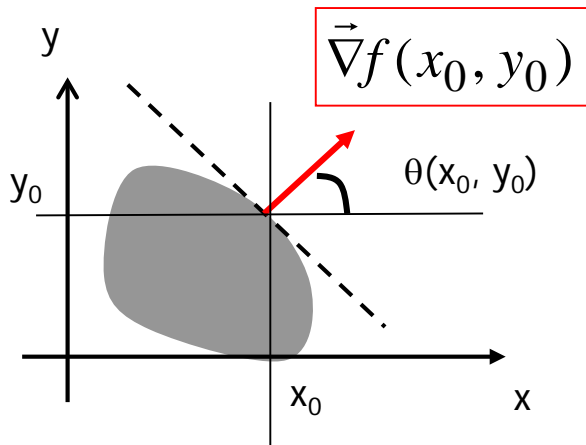
IX. Détection de contours

IX.3 Dérivées premières et secondes

□ Modèle continu

❖ Image $f(x,y)$

- Dérivée première en x :
- Dérivée première en y :
- Vecteur Gradient :
 - ✓ Norme :
 - ✓ Orientation :



$$g_x(x, y) = \frac{\partial f(x, y)}{\partial x}$$

$$g_y(x, y) = \frac{\partial f(x, y)}{\partial y}$$

$$\vec{\nabla}f(x, y) = \vec{G}(x, y) = \left(\frac{\partial f(x, y)}{\partial x} \quad \frac{\partial f(x, y)}{\partial y} \right)'$$

$$|\vec{\nabla}f(x, y)| = |\vec{G}(x, y)| = \sqrt{g_x^2 + g_y^2}$$

$$\theta(x, y) = \arctg\left(\frac{g_y}{g_x}\right)$$

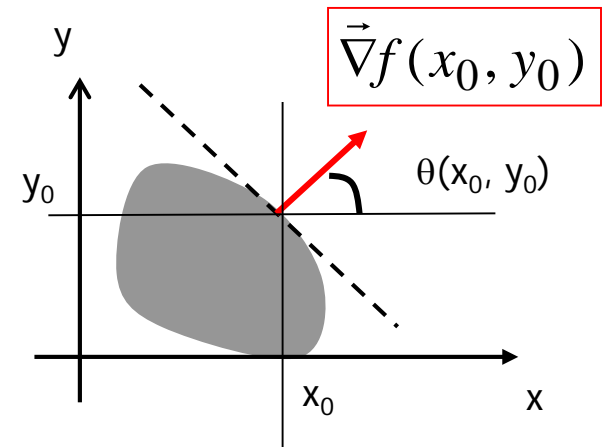
IX. Détection de contours

IX.3 Dérivées premières et secondes

□ Modèle continu

❖ Image $f(x,y)$

- Vecteur Gradient :
 - ✓ Norme : Amplitude du contraste
 - ✓ Orientation : orthogonale au contour
- Composante G_x
 - ✓ Détection des lignes verticales
- Composante G_y
 - ✓ Détection des lignes horizontales



IX. Détection de contours

IX.3 Dérivées premières et secondes

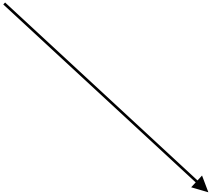
□ Modèle continu

❖ Image $f(x,y)$

- Dérivée seconde en x :
- Dérivée seconde en y :
- Laplacien :

$$g'_x(x, y) = \frac{\partial^2 f(x, y)}{\partial x^2}$$

$$g'_y(x, y) = \frac{\partial^2 f(x, y)}{\partial y^2}$$


$$\Delta f(x, y) = \frac{\partial^2 f(x, y)}{\partial x^2} + \frac{\partial^2 f(x, y)}{\partial y^2}$$

IX. Détection de contours

IX.3 Dérivées premières et secondes

□ Modèle continu

❖ Image $f(x,y)$

❖ Opérateur Laplacien

- Linéaire : une convolution : un exemple de noyau
- Opérateur non directionnel

$$\Delta f(x, y) = \frac{\partial^2 f(x, y)}{\partial x^2} + \frac{\partial^2 f(x, y)}{\partial y^2}$$

$$K_L = \frac{1}{4} \begin{bmatrix} 0 & 1 & 0 \\ 1 & -4 & 1 \\ 0 & 1 & 0 \end{bmatrix}$$

❖ Opérateur : Norme du Gradient

- Non linéaire : 2 convolutions, puissance de 2, racine de 2

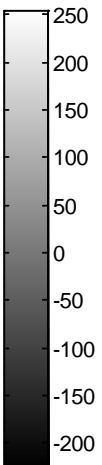
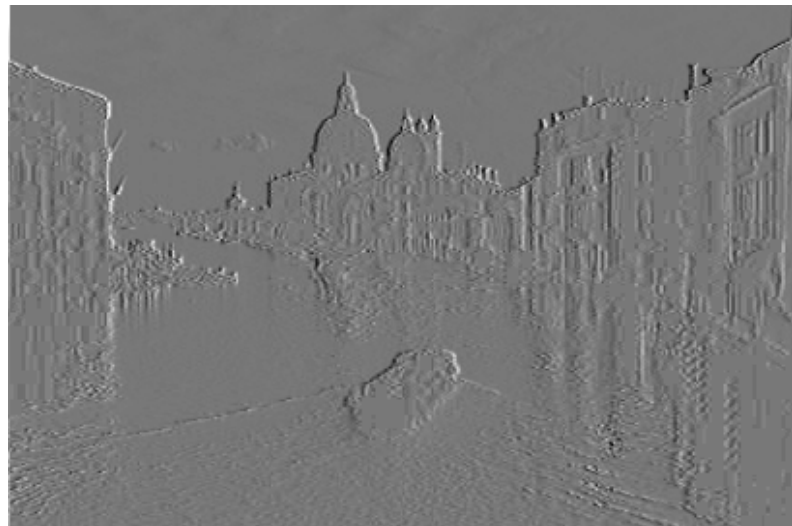
$$|\vec{\nabla} f(x, y)| = \sqrt{g_x^2(x, y) + g_y^2(x, y)}$$

IX. Détection de contours

IX.3 Dérivées premières et secondes

□ Calcul de la dérivée d'une image

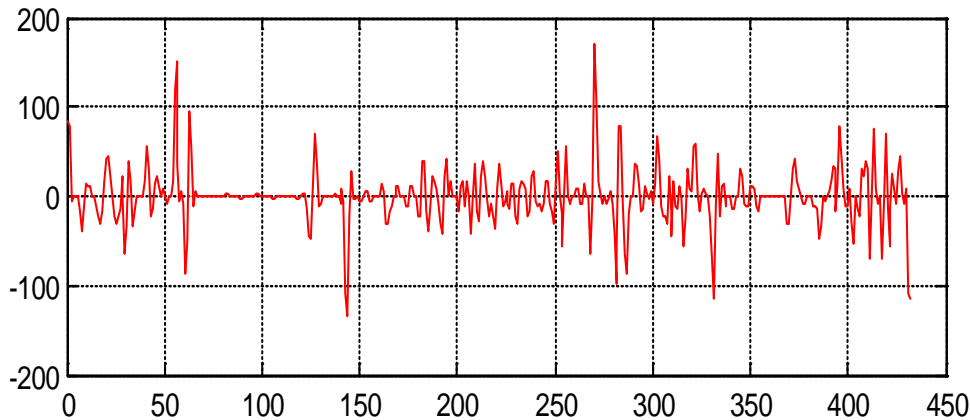
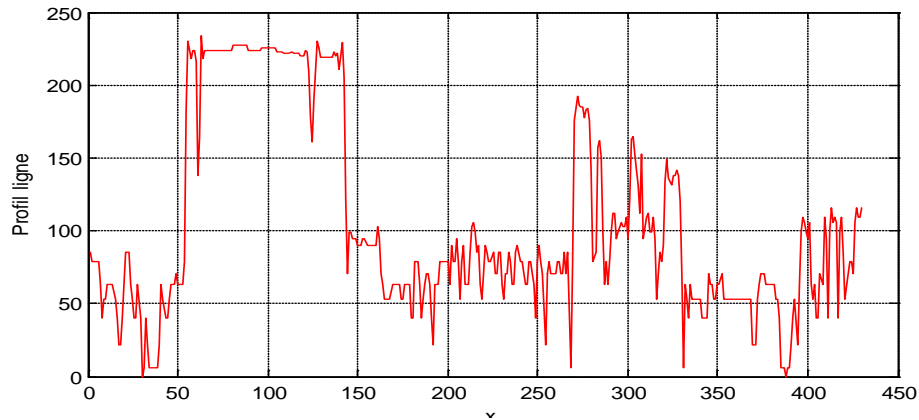
- ❖ Par définition : calcul local de différences de niveaux de gris entre le pixel courant et ses voisins
- ❖ Fait ressortir le bruit (petites fluctuations non contrôlées) dans l'image $f(x,y)$
- ❖ Illustration avec un opérateur gradient sur les lignes :
 - $G_x = [1 \ 0 \ -1]$ (A appliquer – convoluer- sur chaque ligne de l'image)



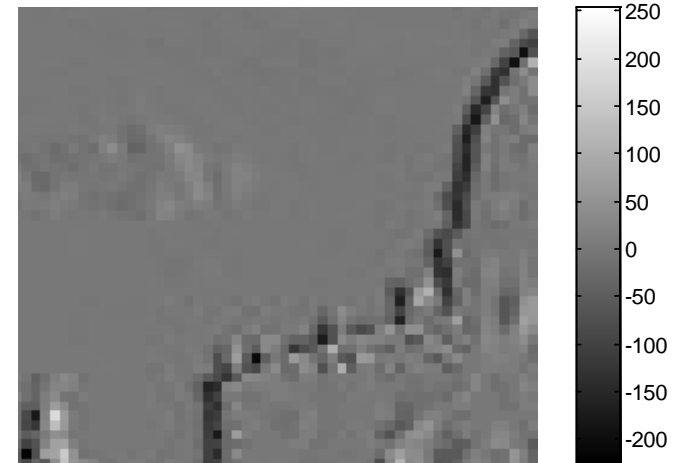
GINF41A6 - AGD

IX. Détection de contours

IX.3 Dérivées premières et secondes



Résultat de Gx sur un profil ligne



Un zoom sur l'image filtrée par Gx

IX. Détection de contours

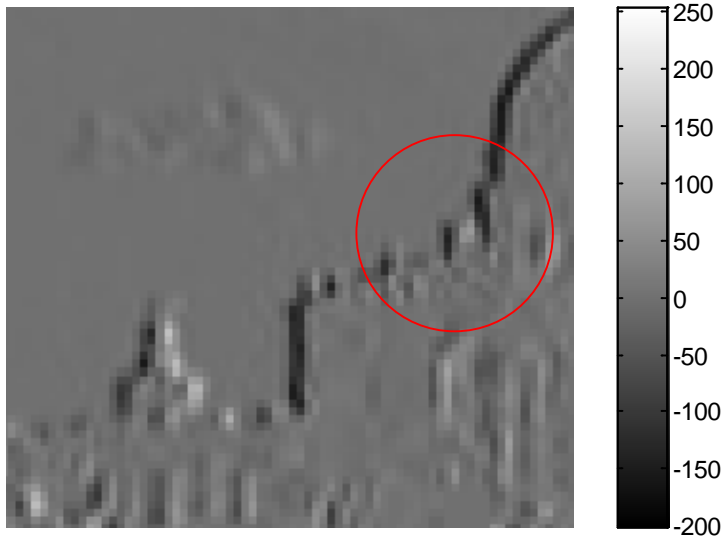
IX.3 Dérivées premières et secondes

□ Calcul de la dérivée d'une image

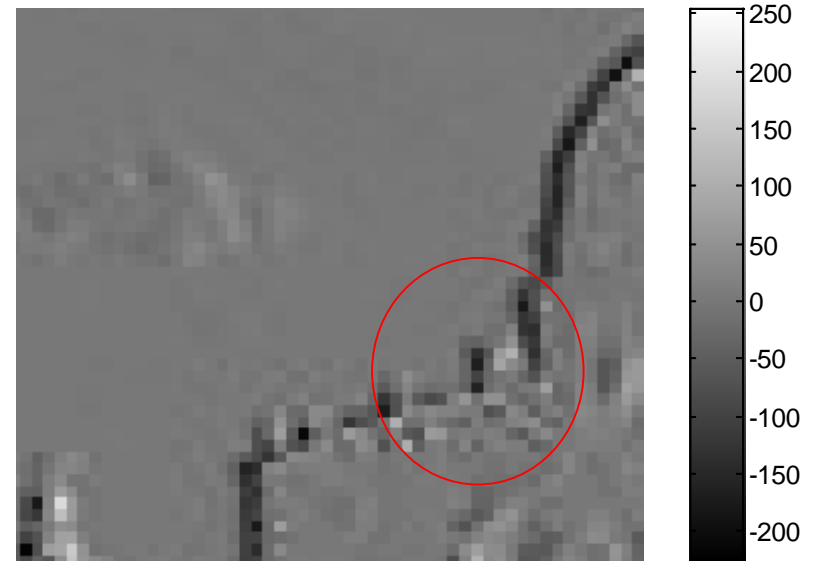
- ❖ Idée : Lissage de l'image pour retirer le bruit puis faire la dérivée
- ❖ Comment combiner « lissage » et « dérivée » qui ont des objectifs opposés ?
 - Le lissage atténue les différences de niveaux de gris entre pixels voisins
 - Le gradient (dérivée première) calcule la différence de niveaux de gris entre les pixels voisins selon une direction donnée
- ❖ Réponse
 - Faire le lissage dans la direction orthogonale du gradient
 - Rappel : L'opérateur « Gradient » est un opérateur directionnel

IX. Détection de contours

IX.3 Dérivées premières et secondes



Un zoom sur l'image filtrée par un lissage en y, puis par Gx

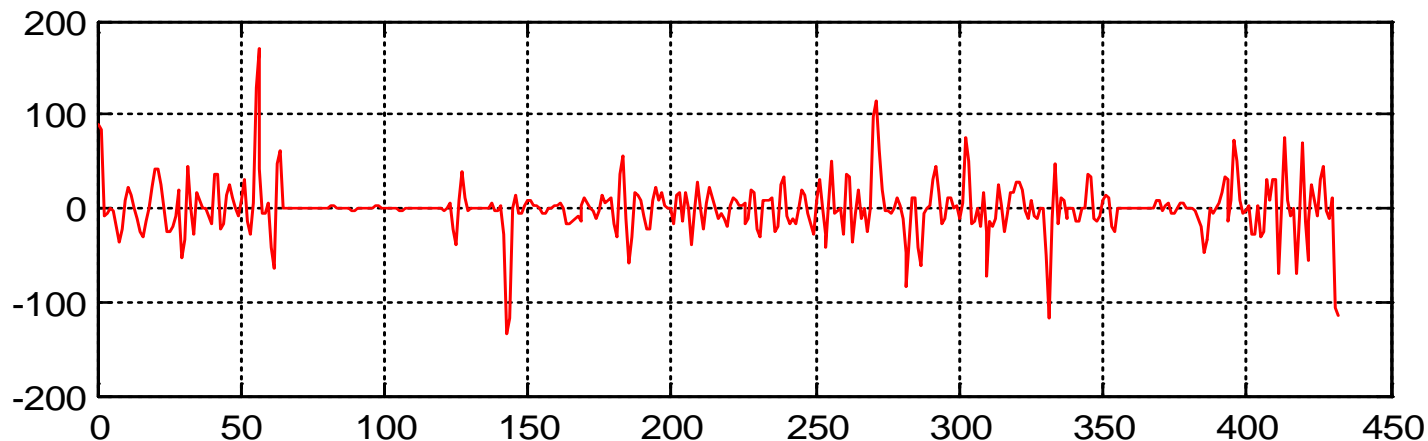


Un zoom sur l'image filtrée par Gx

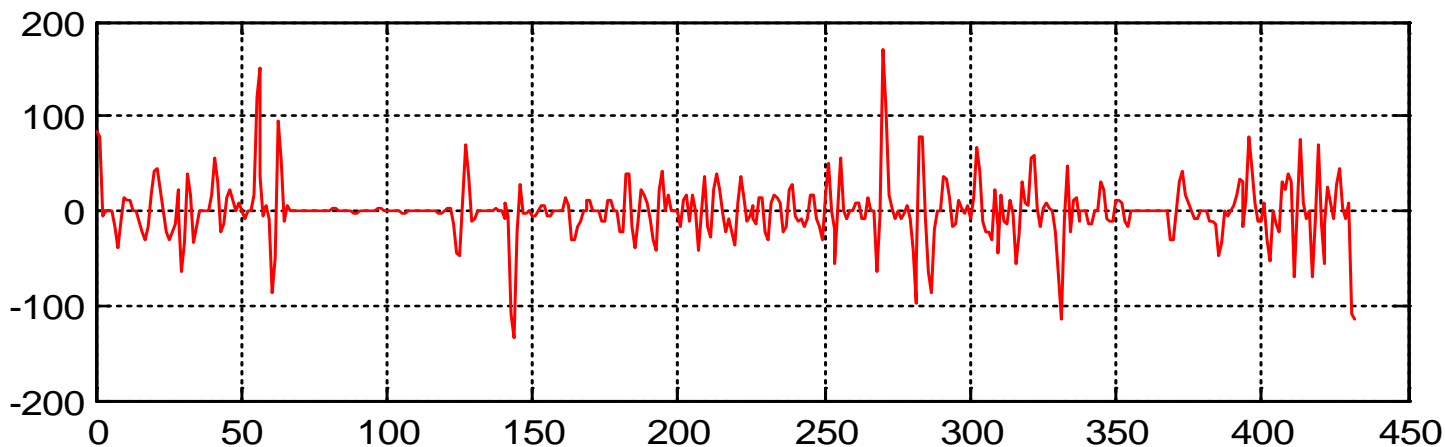
IX. Détection de contours

IX.3 Dérivées premières et secondes

Profil ligne
après Gx



Profil ligne
après Lissage
en y puis Gx



IX. Détection de contours

IX.3 Dérivées premières et secondes

□ Dérivée d'une image filtrée

- ❖ Image $f(x, y)$,
- ❖ Prétraitement par filtrage (réduction de bruit : lissage)
 - Noyau de convolution de lissage : $h(x, y)$
 - Image $f_l(x, y)$: Image après filtrage Passe-Bas de noyau $h(x, y)$

- ❖ Gradient en x de l'image filtrée $f_l(x, y) = f(x, y) * h(x, y)$

$$\begin{aligned}\frac{\partial f_l(x, y)}{\partial x} &= \frac{\partial (f(x, y) * h(x, y))}{\partial x} = \frac{\partial f(x, y)}{\partial x} * h(x, y) = \frac{\partial h(x, y)}{\partial x} * f(x, y) \\ &= h_{dx}(x, y) * f(x, y)\end{aligned}$$

$$\frac{\partial f_l(x, y)}{\partial y} = \frac{\partial h(x, y)}{\partial y} * f(x, y)$$

- ❖ Idem pour le gradient en y

$$= h_{dy}(x, y) * f(x, y)$$

IX. Détection de contours

IX.3 Dérivées premières et secondes

□ Dérivée d'une image filtrée

❖ Image $f(x,y)$ et image $f_l(x,y)$ après filtrage Passe-Bas

❖ Comment combiner lissage et dérivée ?

➤ Gradient en x : lissage en Y et dérivée en X

➤ Noyau : h_{dx}

$$\frac{\partial f_l(x, y)}{\partial x} = \frac{\partial h(x, y)}{\partial x} * f(x, y) = h_{dx}(x, y) * f(x, y)$$

➤ Gradient en y : lissage en X et dérivée en Y

➤ Noyau : h_{dy}

$$\frac{\partial f_l(x, y)}{\partial y} = \frac{\partial h(x, y)}{\partial y} * f(x, y) = h_{dy}(x, y) * f(x, y)$$

IX. Détection de contours

IX.3 Dérivées premières et secondes

□ Dérivée d'une image filtrée

- ❖ Image $f(x,y)$
- ❖ Prétraitement par lissage (réduction de bruit)
 - Noyau de convolution symétrique séparable $h(x,y)$
 - 2 Noyaux 1D : lissage 1D et gradient direction \perp
- ❖ Gradient du noyau de convolution

- Gradient en x :

$$\frac{dh_x(x)}{dx}$$

$$h_y(y)$$

Dérivée

Lissage

- Gradient en y :

$$\frac{dh_y(y)}{dy}$$

$$h_x(x)$$

Dérivée

Lissage

- ❖ Exemple

$$\begin{bmatrix} 1 \\ 0 \\ -1 \end{bmatrix}$$

et

$$\begin{bmatrix} 1 & 1 & 1 \end{bmatrix}$$



$$\begin{bmatrix} 1 & 1 & 1 \\ 0 & 0 & 0 \\ -1 & -1 & -1 \end{bmatrix}$$

GINF41A6 - AGD

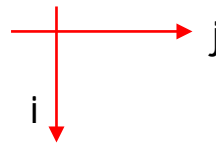
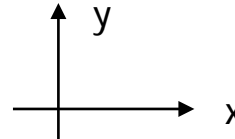
IX. Détection de contours

IX.4 Opérateurs Numériques

- Opérateurs Gradient
- Rappel de notations

- ❖ En continu
- ❖ En discret

- Approximation du gradient en numérique



$$\frac{\partial I(x, y)}{\partial x} \approx \frac{\Delta I[i, j]}{\Delta j} = I[i, j+1] - I[i, j]$$

Opérateur non symétrique
(ROBERTS)

$$\frac{\partial I(x, y)}{\partial x} \approx \frac{\Delta I[i, j]}{\Delta j} = \frac{1}{2} (I[i, j+1] - I[i, j-1])$$

Mieux :
Opérateur symétrique

- ❖ Noyau de convolution 1D

- Gradient x
- Gradient y

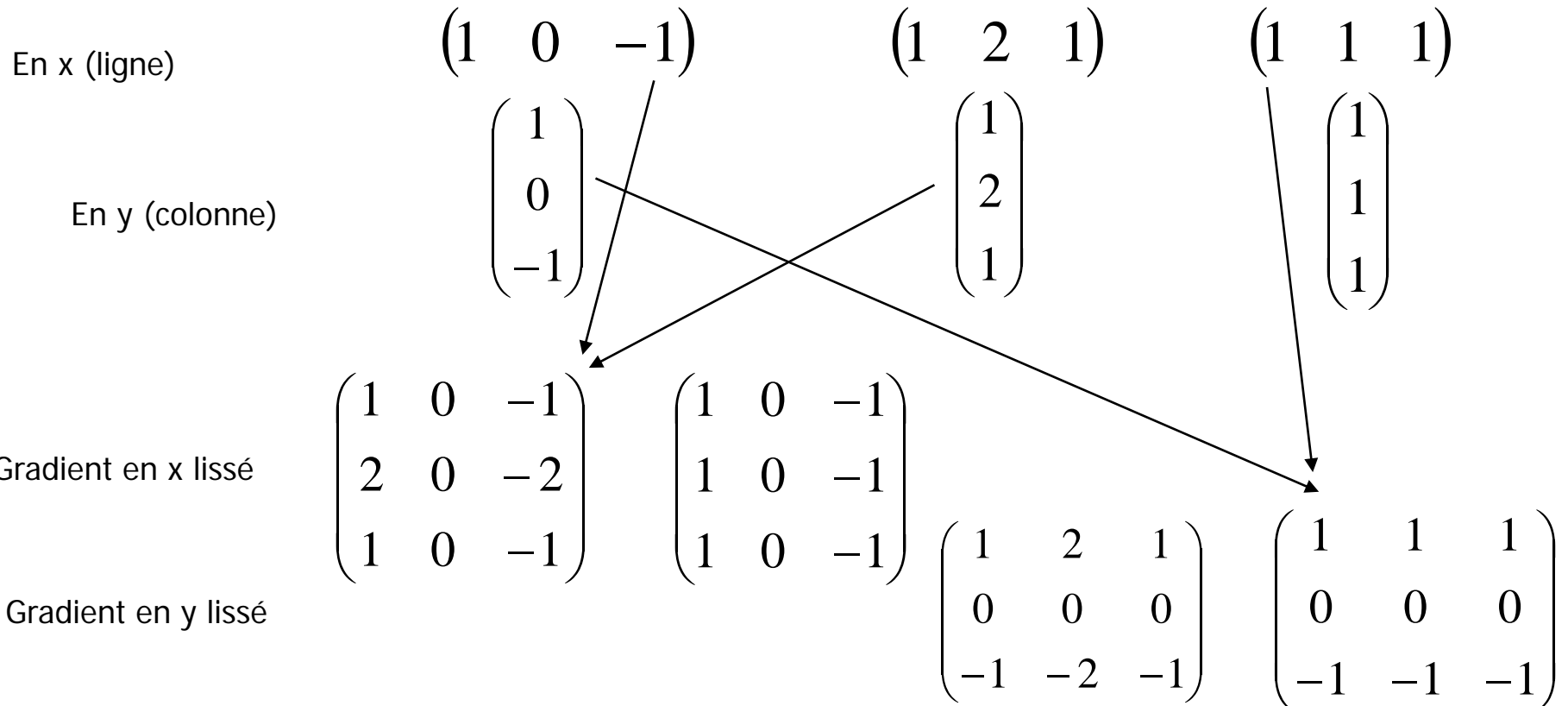
$$\frac{1}{2} \begin{pmatrix} 1 & 0 & -1 \end{pmatrix}$$

$$\frac{1}{2} \begin{pmatrix} 1 \\ 0 \\ -1 \end{pmatrix}$$

IX. Détection de contours

IX.4 Opérateurs Numériques

□ Opérateurs Dérivée et Lissage



IX. Détection de contours

IX.4 Opérateurs Numériques

- Opérateurs Gradient
- Association lissage + dérivée dans les directions orthogonales
 - ❖ Différents noyaux en fonction de cette combinaison
 - ❖ Les plus utilisés sur 2 orientations

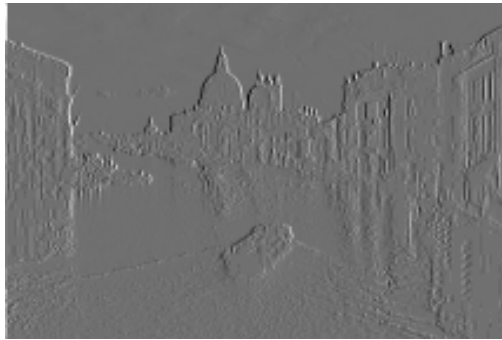
	Gx	Gy
PREWITT	$\frac{1}{3} \begin{pmatrix} 1 & 0 & -1 \\ 1 & 0 & -1 \\ 1 & 0 & -1 \end{pmatrix}$	$\frac{1}{3} \begin{pmatrix} 1 & 1 & 1 \\ 0 & 0 & 0 \\ -1 & -1 & -1 \end{pmatrix}$
SOBEL	$\frac{1}{4} \begin{pmatrix} 1 & 0 & -1 \\ 2 & 0 & -2 \\ 1 & 0 & -1 \end{pmatrix}$	$\frac{1}{4} \begin{pmatrix} 1 & 2 & 1 \\ 0 & 0 & 0 \\ -1 & -2 & -1 \end{pmatrix}$
SCHARR	$\frac{1}{16} \begin{pmatrix} 3 & 0 & -3 \\ 10 & 0 & -10 \\ 3 & 0 & -3 \end{pmatrix}$	$\frac{1}{16} \begin{pmatrix} 3 & 10 & 3 \\ 0 & 0 & 0 \\ -3 & -10 & -3 \end{pmatrix}$

IX. Détection de contours

IX.4 Opérateurs Numériques

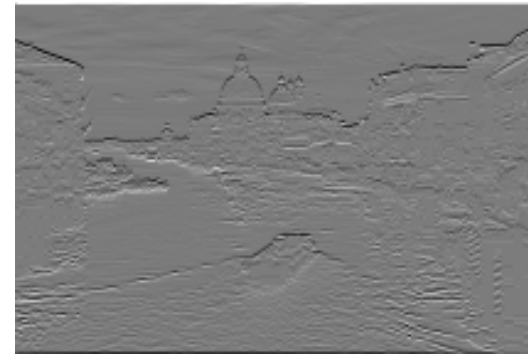
□ Illustration

Gradient x lissé



$$g_x(x, y)$$

Gradient y lissé



$$g_y(x, y)$$

image originale



Norme Gradient



$$|\vec{\nabla} f(x, y)| = \sqrt{g_x^2(x, y) + g_y^2(x, y)}$$

IX. Détection de contours

IX.4 Opérateurs Numériques

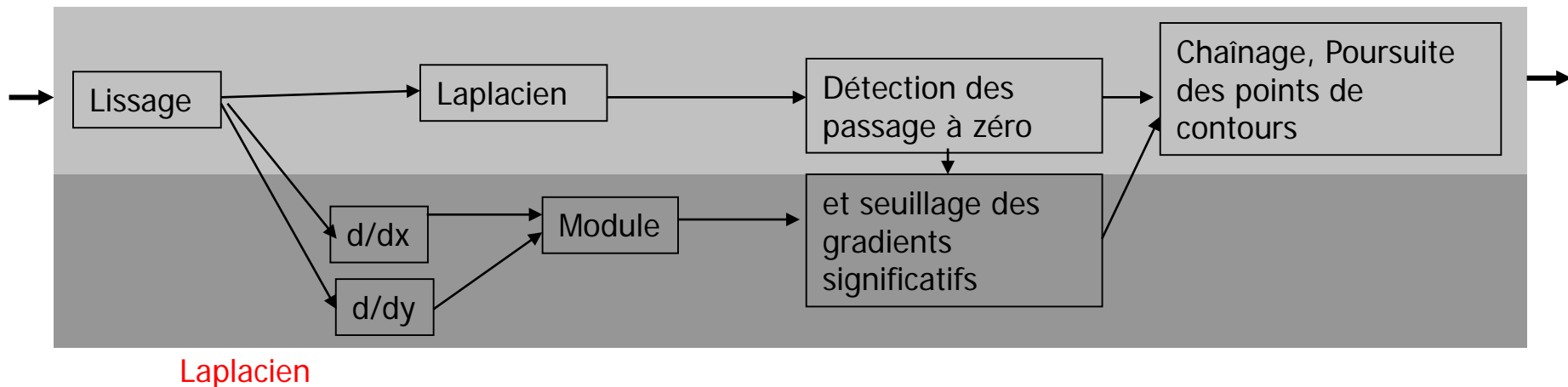
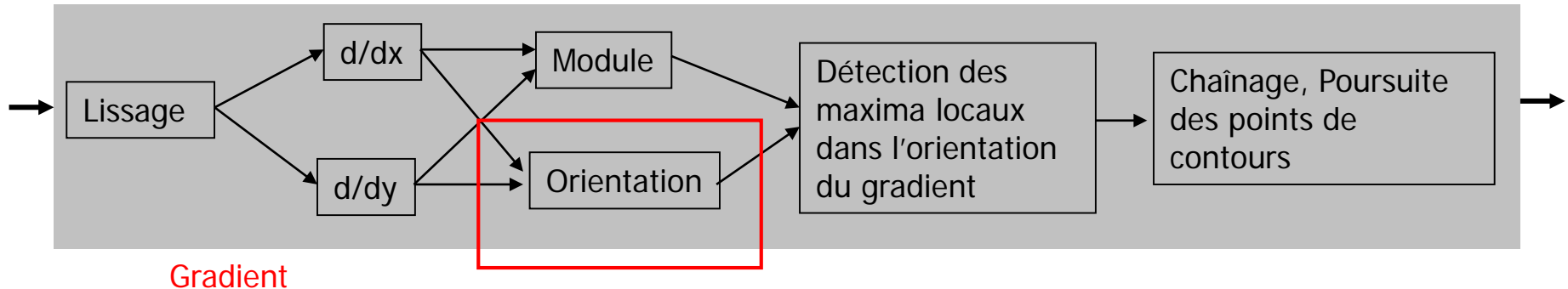
- Opérateurs Gradient
- Association lissage + différence
 - ❖ Les noyaux à différences finies les plus utilisés sont des noyaux 3×3
 - ❖ Détection à une échelle spatiale faible
 - Petites régions spatiales
 - ❖ Lissage à une échelle spatiale faible
 - Moyenne sur des petites régions → Lissage du bruit plutôt HF
- Si plus de réduction de bruit
 - ❖ Lissage sur une fenêtre spatiale plus grande
 - Exemple en 1D : $[1 \ 4 \ 6 \ 4 \ 1]/16$
 - ❖ Si combinaison avec le même opérateur gradient $[1 \ 0 \ -1]$
 - Différence d'échelle entre gradient et lissage
 - Pour remédier à cela : approche par filtrage optimal (chap. X)
 - ✓ Un seul paramètre de réglage : α
 - ✓ α paramètre d'échelle à la fois pour le lissage et pour la dérivation

$$\frac{1}{16} \begin{pmatrix} 1 & 0 & -1 \\ 4 & 0 & -4 \\ 6 & 0 & -6 \\ 4 & 0 & -4 \\ 1 & 0 & -1 \end{pmatrix}$$

IX. Détection de contours

IX.4 Opérateurs numériques

□ Rappel du schéma fonctionnel



IX. Détection de contours

IX.4 Opérateurs Numériques

- ❑ Opérateur Gradient multidirectionnel
- ❑ 2 stratégies pour le calcul de l'orientation
 - ❖ Avec 2 mesures orthogonales de gradient

- Gradient en x, Gradient en y, calcul de θ

$$I_x[i, j] = g_x * I[i, j] \quad I_y[i, j] = g_y * I[i, j] \quad \theta[i, j] = \arctg\left(\frac{I_y[i, j]}{I_x[i, j]}\right)$$

- ❖ Avec Gradients suivant des directions multiples

- Gradient à l'orientation θ_k : G_{θ_k} , $k=0$ à N_θ

- ✓ Orientation : orientation du maximum des gradients G_{θ_k}

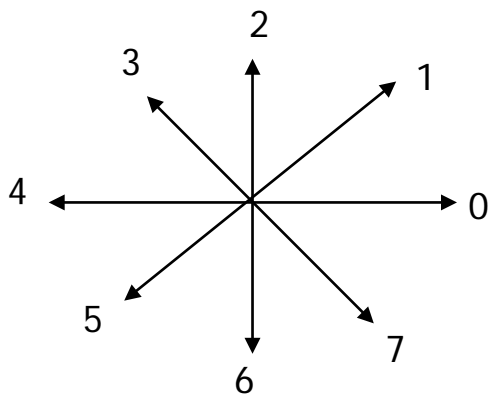
- ✓ Gradient : Valeur maximale entre les gradients G_{θ_k}

$$|G[i, j]| = \left[\underset{k=0 \dots 7}{\text{Max}}(G_{\theta_k}[i, j]) \right] \quad \theta[i, j] = \underset{k=0 \dots 7}{\text{Arg}} \left[\text{Max}(G_{\theta_k}[i, j]) \right]$$

IX. Détection de contours

IX.4 Opérateurs Numériques

- ❑ Opérateur Gradient multidirectionnel
- ❑ Exemple : Opérateurs de KIRSH
 - ❖ 8 orientations notées suivant le codage de Freeman



$$G_x : K_0$$
$$\frac{1}{15} \begin{pmatrix} 5 & -3 & -3 \\ 5 & 0 & -3 \\ 5 & -3 & -3 \end{pmatrix}$$

$$G_{45} : K_1$$
$$\frac{1}{15} \begin{pmatrix} -3 & -3 & -3 \\ 5 & 0 & -3 \\ 5 & 5 & -3 \end{pmatrix}$$

$$G_y : K_2$$
$$\frac{1}{15} \begin{pmatrix} -3 & -3 & -3 \\ -3 & 0 & -3 \\ 5 & 5 & 5 \end{pmatrix}$$

Etc ...

$$|G[i, j]| = \left[\underset{k=0 \dots 7}{\text{Max}} \left(G_{\theta_k} [i, j] \right) \right]$$

$$\theta[i, j] = \text{Arg} \left[\underset{k=0 \dots 7}{\text{Max}} \left(G_{\theta_k} [i, j] \right) \right] \times 45^\circ$$

IX. Détection de contours

IX.4 Opérateurs Numériques

- Opérateurs Dérivée Seconde
- Approximation en numérique
 - ❖ Même approche que pour le gradient
 - ❖ Mais beaucoup plus sensible aux bruits que le Gradient

$$\frac{\partial^2 I(x, y)}{\partial x^2} = \frac{\partial I_x(x, y)}{\partial x} \approx (-I[i, j+1] + 2I[i, j] - I[i, j-1])$$

$$\frac{\partial^2 I(x, y)}{\partial y^2} = \frac{\partial I_y(x, y)}{\partial y} \approx (-I[i+1, j] + 2I[i, j] - I[i-1, j])$$

IX. Détection de contours

IX.4 Opérateurs Numériques

❑ Opérateurs Dérivée Seconde

❑ Approximation en numérique

❖ Noyau de convolution 1D

➤ Dérivée seconde x

➤ Dérivée seconde y

$$\begin{pmatrix} -1 & 2 & -1 \end{pmatrix}$$

$$\begin{pmatrix} -1 \\ 2 \\ -1 \end{pmatrix}$$

❖ Combinaison avec le lissage

➤ Indispensable , car très sensible aux bruits

$$\frac{\partial^2 h(x, y)}{\partial x^2} \quad \frac{1}{4} \begin{pmatrix} -1 & 2 & -1 \\ -2 & 4 & -2 \\ -1 & 2 & -1 \end{pmatrix}$$

$$\frac{\partial^2 h(x, y)}{\partial y^2} \quad \frac{1}{4} \begin{pmatrix} -1 & -2 & -1 \\ 2 & 4 & 2 \\ -1 & -2 & -1 \end{pmatrix}$$

IX. Détection de contours

IX.4 Opérateurs Numériques

- Opérateurs Laplacien
- Approximation en numérique
 - ❖ Même approche que pour le gradient

$$\Delta I(x, y) = \frac{\partial^2 I(x, y)}{\partial x^2} + \frac{\partial^2 I(x, y)}{\partial y^2}$$

- ❖ Noyau de convolution 2D
- ❖ Toujours Combinaison avec le lissage

$$K_L = \frac{1}{4} \begin{bmatrix} 0 & 1 & 0 \\ 1 & -4 & 1 \\ 0 & 1 & 0 \end{bmatrix}$$

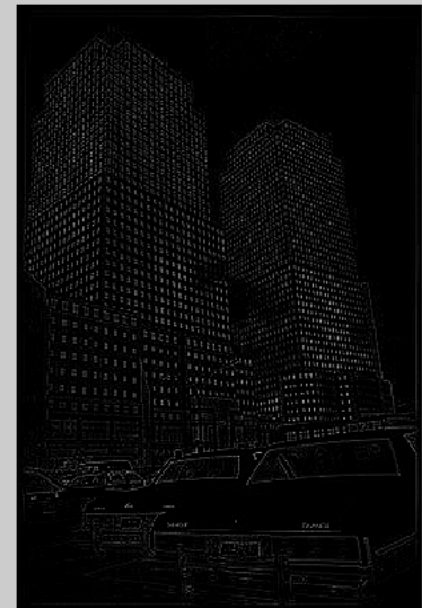
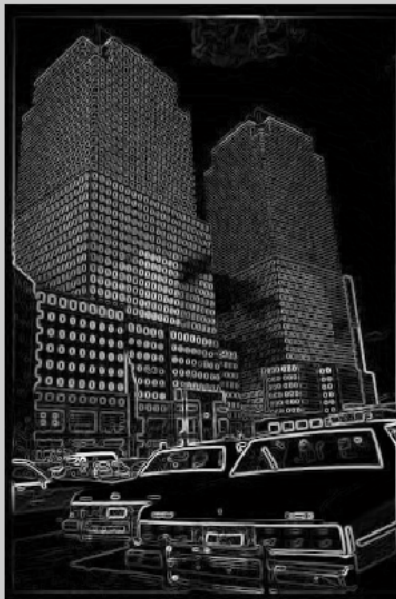
$$K_L = \frac{1}{8} \begin{bmatrix} 1 & 1 & 1 \\ 1 & -8 & 1 \\ 1 & 1 & 1 \end{bmatrix}$$

$$K_L = \frac{1}{12} \begin{bmatrix} 1 & 2 & 1 \\ 2 & -12 & 2 \\ 1 & 2 & 1 \end{bmatrix}$$

IX. Détection de contours

IX.5 Points de contour

- A partir des opérateurs aux différences finies pour calculer Gradient ou Laplacien
- Mais ce ne sont pas nécessairement des points de contour
 - ❖ On veut obtenir une carte binaire
 - $C(i,j)=1$: pixel(i,j) est un contour ; $C(i,j)=0$: pixel(i,j) n'est pas un contour



IX. Détection de contours

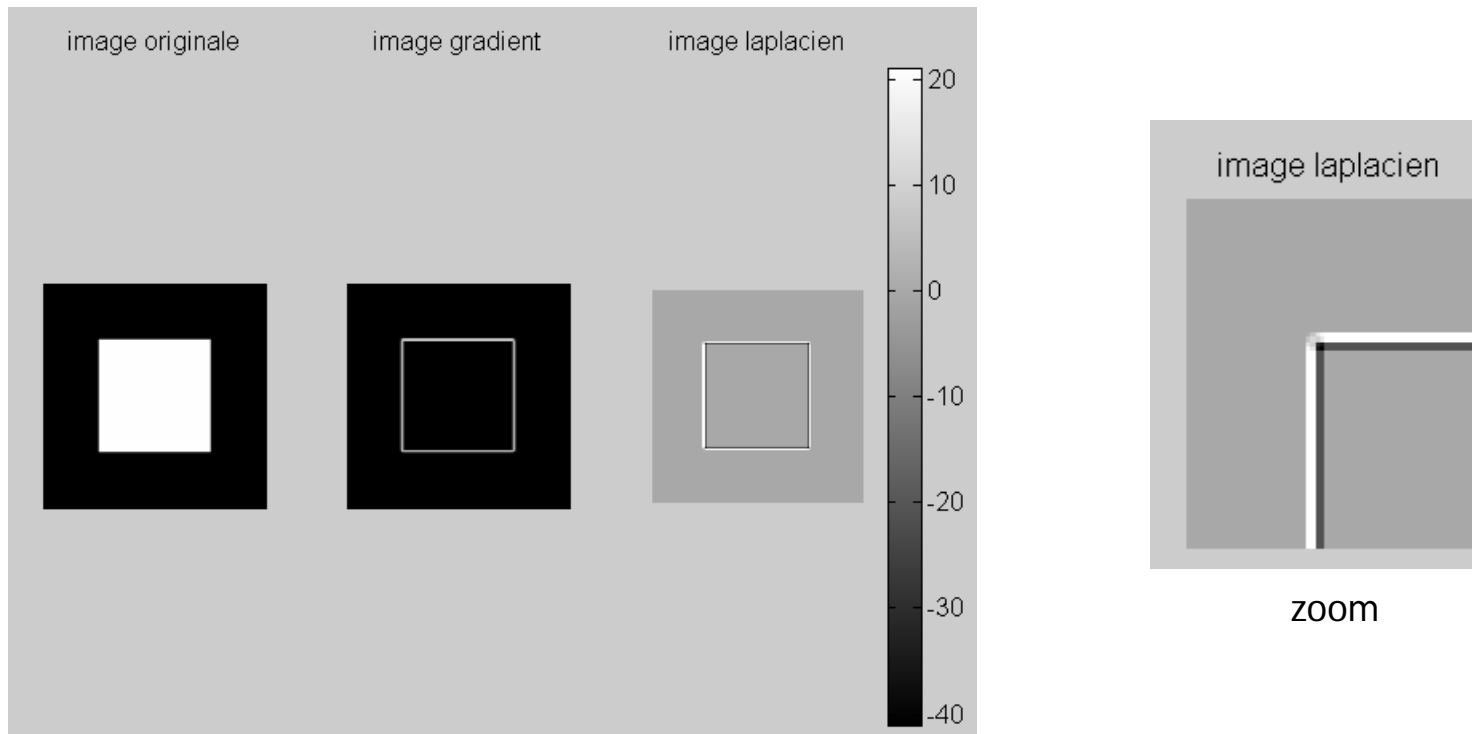
IX.5 Points de contour

- A partir des images de Gradient et/ou de Laplacien
 - ❖ Mise en place de techniques de seuillage
 - Double seuillage ou seuillage par hystérésis
 - ❖ Obtention de points non structurés
 - Qualité médiocre pour les utiliser tels quels comme contour
 - ✓ bruités
 - ✓ épais
 - ✓ Interrompus
 - ✓ Pas nécessairement fermés
 - ❖ Passage des points détectés aux points de contours
 - Post-traitements plus ou moins complexes
 - ✓ Seuillage
 - ✓ Autres filtrages
 - ✓ Chaînage
 - ✓

IX. Détection de contours

IX.5 Points de contour

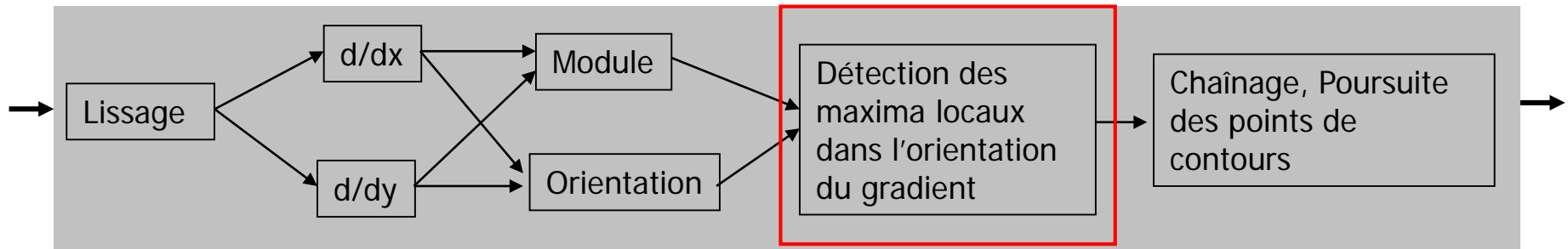
- A partir des opérateurs aux différences finies pour calculer Gradient ou Laplacien
- Dans le cas idéal : sans bruit
 - ❖ Post-traitement inutile



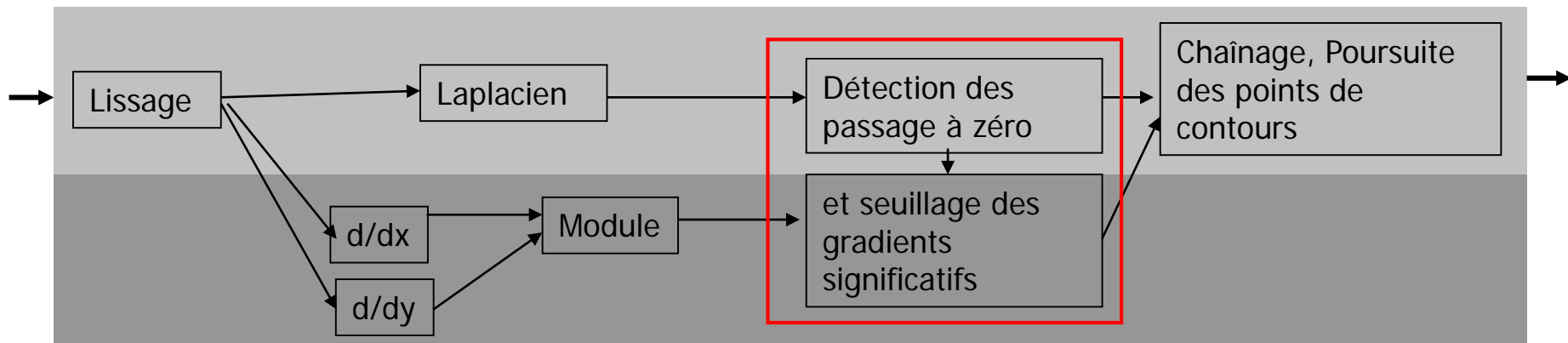
IX. Détection de contours

IX.5 Points de contour

□ Rappel du schéma fonctionnel



Gradient

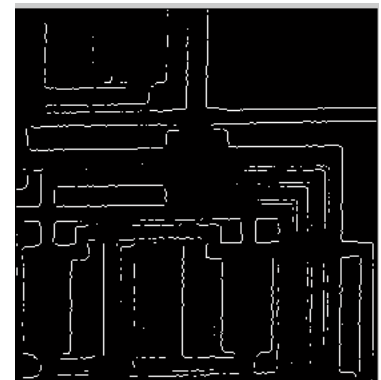
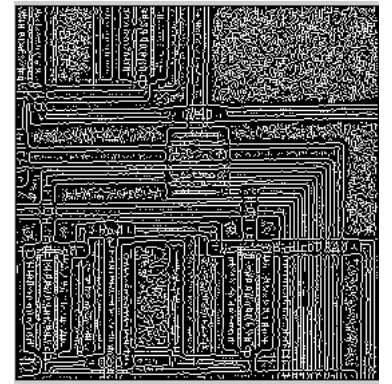
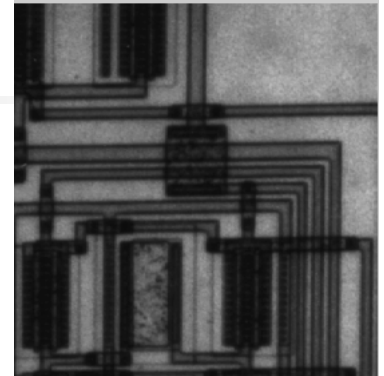


Laplacien

IX. Détection de contours

IX.5 Points de contour

- ❑ Points de contour candidats
 - ❖ Gradient
 - Maxima locaux dans la direction du gradient
 - ❖ Laplacien
 - Passage à zéro du Laplacien
 - Pas de calcul d'orientation
 - ❖ Rappel : sensibilité aux bruits
- ❑ Amélioration de la robustesse par seuillage
 - ❖ Contours significatifs
- ❑ On obtient un ensemble non structuré de points de contour
 - ❖ Puis chaînage des points de contour



IX. Détection de contours

IX.5 Points de contour

□ Points de contour candidats

❖ Gradient

- Maxima locaux dans la direction du gradient

$M[i_0, j_0]$: pixel courant de coordonnées $[i_0, j_0]$

M_1 : voisin « arrière » dans la direction du gradient de M

M_2 : voisin « avant » dans la direction du gradient de M

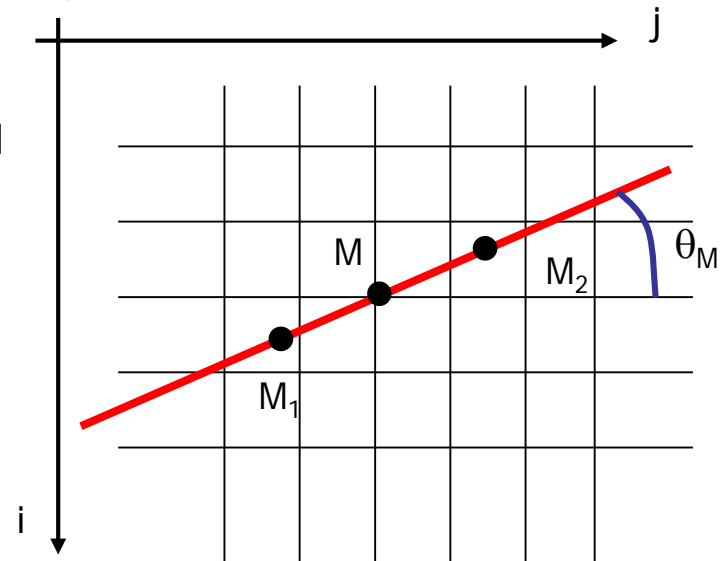
Coordonnées des voisins "avant" et "arrière"

θ_M : Orientation du gradient en M

d : Paramètre à fixer (norme de la distance aux premiers voisins) , typiquement 1 ou 2

$M_1[i_1, j_1]$: $i_1 = i_0 - d \cdot \sin(\theta_M)$; $j_1 = j_0 + d \cdot \cos(\theta_M)$

$M_2[i_2, j_2]$: $i_2 = i_0 + d \cdot \sin(\theta_M)$; $j_2 = j_0 - d \cdot \cos(\theta_M)$



M_1 et M_2 ne sont pas nécessairement sur la grille

IX. Détection de contours

IX.5 Points de contour

□ Points de contour candidats

❖ Gradient

- Maxima locaux dans la direction du gradient

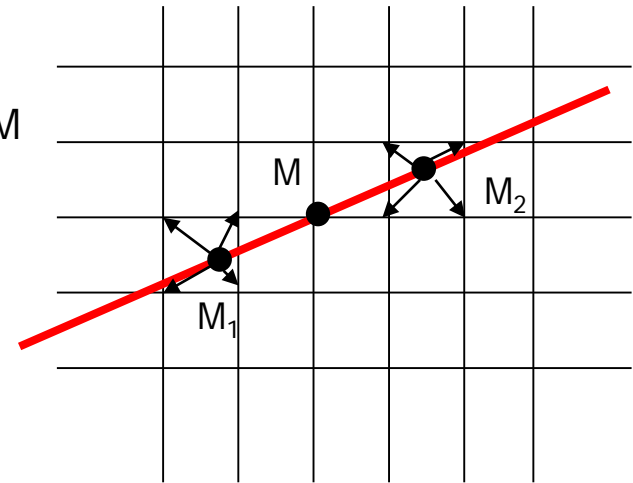
M : pixel courant

M1 : voisin « arrière » dans la direction du gradient de M

M2 : voisin « avant » dans la direction du gradient de M

M est un maximum local:

$$|G(M)| > |G(M_1)| \text{ et } |G(M)| > |G(M_2)|$$



Difficulté :

M1 et M2 ne sont pas nécessairement sur la grille

→ Calculer leur gradient par interpolation linéaire ou affectation au point le plus proche

IX. Détection de contours

IX.5 Points de contour

□ Points de contour candidats

❖ Gradient

- Maxima locaux dans la direction du gradient
- Solution approchée
 - ✓ Quantification de la valeur de l'orientation avec par exemple, les masques de KIRSH

$$\theta[i, j] = \text{Arg} \left[\underset{k=0 \dots 7}{\text{Max}} \left(I_{\theta_k} [i, j] \right) \right]$$

- ✓ Les points M1 et M2 sont sur la grille, car les orientations possibles sont : 0°, 45°, 90° et 135°

IX. Détection de contours

IX.5 Points de contour

□ Points de contour candidats

❖ Gradient

- Maxima locaux dans la direction du gradient
- Seuillage des maxima significatifs
 - ✓ Méthode par seuil à hystérésis = double seuillage
 - Seuil haut, Seuil bas

$|\text{Grad}(\text{pc})| \geq \text{seuil_haut} \rightarrow \text{pc pixel courant est point de contour (PC)}$

$|\text{Grad}(\text{pc})| < \text{seuil_bas} \rightarrow \text{pc pixel courant n'est pas un point de contour (NPC)}$

$\text{seuil_bas} \leq |\text{Grad}(\text{pc})| < \text{seuil_haut} \rightarrow \text{pc pixel courant est un point de contour possible (PCP)}$

- ✓ Réaffectation des points de contour possible par propagation
 - Technique de chaînage

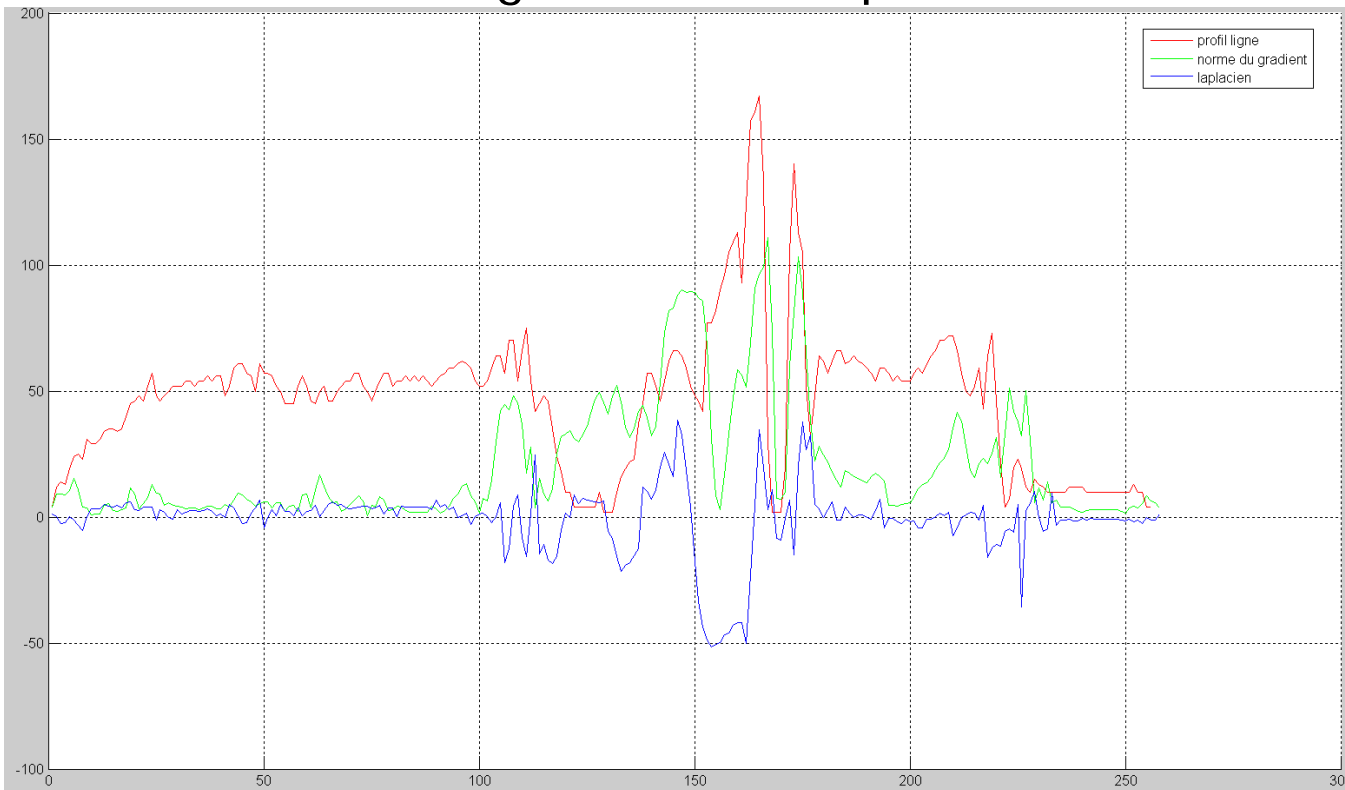
IX. Détection de contours

IX.5 Points de contour

□ Points de contour candidats

❖ Laplacien

➤ Passage à zéro du Laplacien



En théorie : bonne
précision spatiale
de détection

En pratique : effet
du bruit et
détection de petites
régions non
significatives

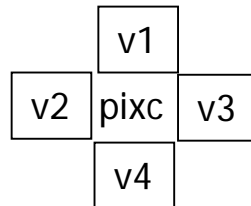
IX. Détection de contours

IX.5 Points de contour

□ Points de contour candidats

❖ Laplacien

- Détection du Passage à zéro du Laplacien
- Masque de voisinage à 4 premiers voisins



lv_i : valeur du Laplacien aux points vi

pc pixel courant est point de contour si

$\text{Signe}(lv_2) \neq \text{Signe}(lv_3)$ et $|lv_2 \cdot lv_3| > 0$ et $|lv_2 - lv_3| > \text{seuil}$

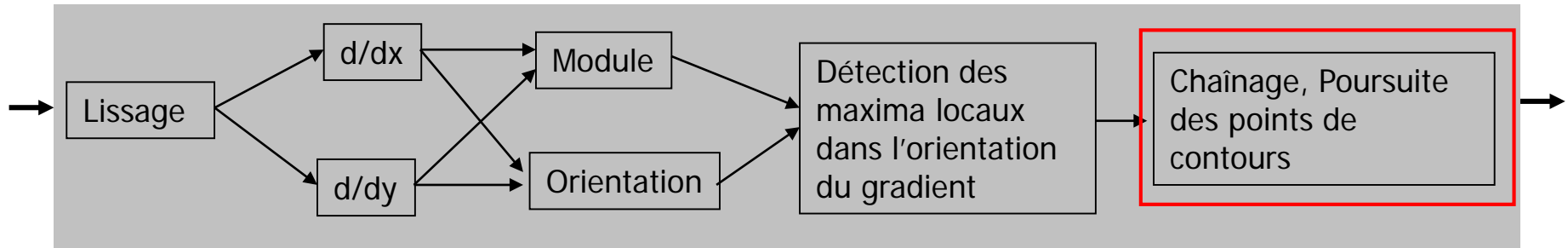
ou

$\text{Signe}(lv_1) \neq \text{Signe}(lv_4)$ et $|lv_1 \cdot lv_4| > 0$ et $|lv_1 - lv_4| > \text{seuil}$

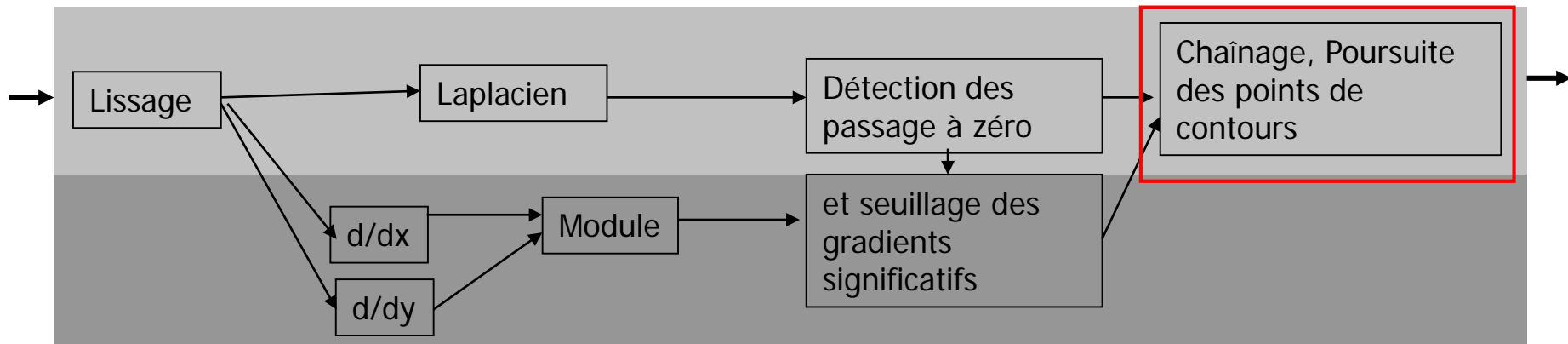
IX. Détection de contours

IX.6 Chaînage des points de contour

□ Rappel du schéma fonctionnel



Gradient



Laplacien

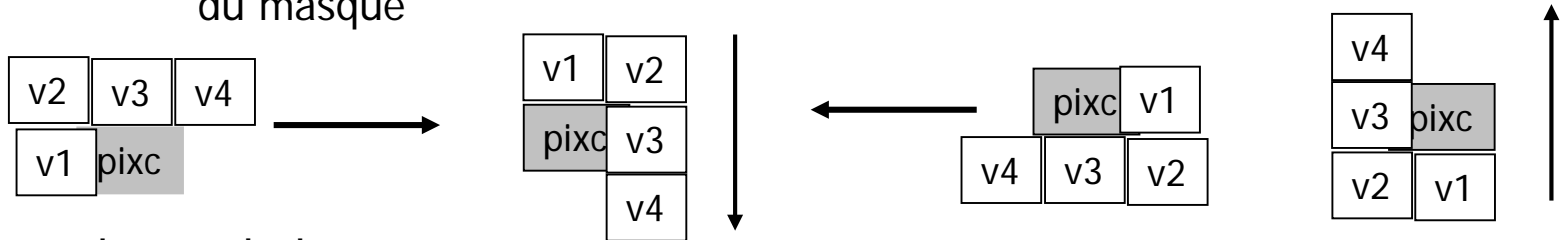
IX. Détection de contours

IX.6 Chaînage des points de contour

□ Un exemple d'algorithme de chaînage

❖ Double seuillage :

- Pixel : soit PC, NPC, PCP
- 4 balayages successifs
 - ✓ Chaque masque définit un voisinage
 - ✓ A chaque masque est associé un sens de balayage
 - ✓ Pour passer d'un sens de balayage à un autre : flip horizontal et flip vertical du masque



❖ Pour chaque balayage

Si pixc est PCP, alors

si $\exists \text{ pix} \in \text{Voisin}(\text{pixc})$ / pix est PC alors pixc est PC

Sinon pixc reste dans la même catégorie